

# خون

فصلنامه علمی پژوهشی  
دوره ۱۴ شماره ۱ بهار ۹۶ (۴۲-۳۴)

مقاله پژوهشی

## تأثیر عصاره مтанولی بخش‌های هوایی گیاه درمنه خزری (Artemisia annua) بر تکثیر و مرگ سلول‌های سرطانی لوسمی لنفوblastیک حاد رده‌های Reh و Nalm-6

پرگل مشاتی<sup>۱</sup>، سمیه اسماعیلی<sup>۲</sup>، نسرین دهقان نیری<sup>۳</sup>، مینا درویشی<sup>۱</sup>، احمد قره‌باخیان<sup>۱\*</sup>

### چکیده ساقه و هدف

لوسمی لنفوblastیک حاد (ALL)، شایع‌ترین بدخیمی در کودکان محسوب می‌شود. با توجه به اثرات جانبی شیمی درمانی، امروزه استفاده از ترکیبات طبیعی برای درمان بدخیمی‌ها مورد توجه بسیار قرار گرفته است. اثر مهاری آرتمیسیا آنوا (درمنه خزری) بر روی چندین رده سلولی سرطانی گزارش شده است. هدف از این مطالعه، بررسی اثر سمیت این عصاره بر رده‌های سلولی لوسمی لنفوblastیک حاد بود.

### مواد و روش‌ها

در این مطالعه تجربی، سلول‌های Nalm-6 و Reh کشت داده شدند و سپس با غلظت‌های مختلف عصاره گیاه تیمار و با کمک آزمون MTT، درصد سلول‌های زنده بعد از ۴۸ و ۷۲ ساعت بررسی شد. از آزمون فلوسیتومری Annexin V-FITC و سنجش فعالیت کاسپاز ۳ جهت ارزیابی القای آپوپتوز استفاده شد. آنالیز آماری داده‌ها با استفاده از آزمون one-way ANOVA انجام گرفت.

### پافته‌ها

نتایج حاصل از آزمون MTT نشان داد که IC50 عصاره پس از ۴۸ ساعت در رده ۶-  $90 \mu\text{g/mL}$ ، Nalm-6 در رده  $70 \mu\text{g/mL}$  می‌باشد، به همین ترتیب پس از ۷۲ ساعت نیز دارای اثر کشنده‌گی بالایی به نسبت گروه کنترل بود ( $p < 0.001$ ). نتایج آزمون فلوسیتومری حاکی از افزایش آپوپتوز با غلظت  $40 \mu\text{g/mL}$  عصاره می‌باشد ( $p < 0.05$ ). افزایش قابل توجه فعالیت کاسپاز ۳ در سلول‌های تیمار شده نیز مشاهده شد ( $p < 0.01$ ).

### نتیجه‌گیری

با توجه به نتایج به دست آمده، عصاره مтанولی بخش‌های هوایی گیاه آرتمیسیا آنوا سبب مهار رشد قابل توجه سلول‌های رده ۶ و Nalm-6 شد.

**کلمات کلیدی:** لوسمی لنفوblastیک حاد، آرتمیسیا آنوا، آپوپتوز

تاریخ دریافت: ۹۵/۰۸/۱۹  
تاریخ پذیرش: ۹۵/۱۰/۱۴

۱- دانشجویی کارشناسی ارشد خونشناسی آزمایشگاهی و بانک خون - دانشکده پیراپزشکی دانشگاه علوم پزشکی شهید بهشتی - تهران - ایران  
۲- PhD فارماکوگنوزی - دانشیار مرکز تحقیقات طب سنتی و مفرادات پزشکی - دانشکده طب سنتی دانشگاه علوم پزشکی شهید بهشتی - تهران - ایران  
۳- دانشجویی دکترای پرتونومیکس - دانشکده پیراپزشکی دانشگاه علوم پزشکی شهید بهشتی - تهران - ایران  
۴- مؤلف مسئول: PhD ایمونوهماتولوژی بالینی - استاد دانشکده پیراپزشکی دانشگاه علوم پزشکی شهید بهشتی - مرکز تحقیقات بیماری‌های مادرزادی خونی کودکان دانشگاه علوم پزشکی شهید بهشتی - خیابان شریعتی - تهران - ایران - کد پستی: ۱۵۵۱۴-۱۵۴۶۸

مختلف را نشان داد(۱۱). در فرآیند آپوپتوز، کاسپازها نقش مهمی ایفا می‌کنند. کاسپازها، سیستئین پروتازهایی هستند که به شکل پروآنزیم وجود دارند و در اثر شکسته شدن فعال می‌شوند(۱۲، ۱۳). دو مسیر جایگزین برای شروع فرآیند آپوپتوز وجود دارد: مسیر خارجی که واپسیه به گیرندهای مرگ موجود بر سطح سلول است و مسیر داخلی که واپسیه به میتوکندری می‌باشد. در هر دو مسیر، کاسپازها فعال می‌شوند(۱۴). مسیر خارجی و داخلی به یک مسیر مشترک ختم می‌شوند که با شکستن کاسپاز ۳ آغاز شده و نهایتاً منجر به شکستن DNA ، دژنره شدن پروتئین‌های هسته‌ای، شکل‌گیری اجسام آپوپتوتیک، بیان لیگاند برای گیرنده‌های سلول‌های فاگوسیت‌کننده و در آخر جذب توسط سلول‌های فاگوسیت‌کننده متوجه خواهد شد(۱۵). در این مرحله از آپوپتوز، فسفاتیدیل سرین به سطح خارجی غشای سلول می‌آید. فسفاتیدیل سرین‌ها به طور طبیعی در لایه داخلی سیتوپلاسم غشای سلول‌های زنده قرار گرفته‌اند(۱۶).

انکسین ۷ دارای جایگاه اتصال به فسفاتیدیل سرین است. اخیراً مشخص شده هر نوع سلول دارای مکانیسمی است که باعث ظاهر شدن فسفاتیدیل سرین در سطح سلول می‌شود، که این مکانیسم طی آپوپتوز فعال می‌شود. جهت درک مکانیسم مرگ سلولی از آزمون فلوسیتومتری Annexin V-FITC استفاده می‌شود(۱۷). در این مطالعه، بررسی فعالیت کاسپاز ۳ به دلیل اهمیت آن در هر دو مسیر آپوپتوز صورت گرفت.

در این مطالعه بر آن شدیدم تا اثر عصاره آرتمیسیا آنوا را بر سلول‌های سرطانی لنفوبلاستیک حاد شامل Nalm-6 و Reh مورد بررسی قرار دهیم.

## مواد و روش‌ها

تهییه عصاره:

در این مطالعه تجربی، این گیاه از استان گلستان، کلاله در شمال ایران جمع‌آوری شد. ۱۰ گرم از پودر خشک شده از نواحی هوایی در مرحله زایشی گیاه توسط ۱۰۰ میلی‌لیتر متانول(به نسبت ۱ به ۱۰) با استفاده از روش خیساندن(maceration) پس از ۲۴ ساعت عصاره‌گیری

لوسمی لنفوبلاستی حاد(ALL)، به عنوان شایع‌ترین نوع سرطان در کودکان زیر ۱۵ سال شناخته می‌شود. با وجود پیشرفت‌های بسیار در راه‌کارهای درمانی که منجر به درمان بیش از ۹۰٪ کودکان مبتلا به ALL شده است، عوارض ناشی از درمان هم‌چنان باقی است و به عنوان دومین عامل مرگ و میر مرتبط با سرطان در کودکان شناسایی شده است(۱-۴). از آن جایی که گیاهان دارویی به علت داشتن منشا طبیعی نسبت به داروهای شیمیایی دارای سازگاری بیشتری با ارگانیسم‌های زنده از جمله بدن انسان بوده و عوارض جانبی کمتری هم ایجاد می‌کند، لذا به عنوان منبع بالقوه مکمل داروهای شیمی درمانی جدید مورد توجه ویژه هستند(۵). بیش از ۵۰٪ داروها در آزمایش‌های بالینی، برای تعیین فعالیت ضد سرطانی، از منابع طبیعی مشتق شده‌اند یا به آن‌ها واپسیه‌اند(۶). آرتمیسیا آنوا متعلق به خانواده Compositae می‌باشد. این جنس در ایران ۳۴ گونه علفی یک ساله و چند ساله دارد که در سراسر ایران پراکنده‌اند. پراکندگی جغرافیایی این گیاه به وسعت ایران بوده از دشت‌های پست ساحلی تا ارتفاعات کوهستانی می‌رویند. نام محلی این گیاه، درمنه خزری، درمنه یک ساله یا گندواش است. آرتمیزینین(Artemisinin) جدا شده از A. annua به عنوان یک داروی قوی ضد مalariaی شناخته شده است(۷). تاثیر سمتیت سلولی برخی از گونه‌های آرتمیسیا بر بعضی از رده‌های سلولی سرطانی گزارش شده است. عصاره متانولی Artemisia argyi و ترکیبات فنولی جاسئوسيدين(Jaceosidin) موجود در آن، تکثیر چندین رده سلولی توموری از جمله سلول‌های سرطانی سرویکس(Hela) را مهار می‌کند(۸).

Artemisia asiatica و ترکیب یوپاتیلین(Eupatilin) آن با مکانیسم شناخته شده‌ای سبب القای آپوپتوز سلول‌های پرومیلوسیتیک(HL-60) و سلول‌های سرطان معده(ASG) می‌شود(۹). عصاره متانولیک برگ Artemisia vulgaris به عنوان عامل ضد سرطانی بر روی رده‌های سلولی HepGZ تایید شده است(۱۰). عصاره متانولی Artemisia annua MCF-7 و HT-29، AGS ، HELA ، روی رده‌های سلولی مهار قوی و واپسیه به غلظت تکثیر سلول‌های سرطانی

سپس پلیت‌ها را با دور g ۲۹۰۰ به مدت ۹ دقیقه سانتریفیوژ کرده و محیط کشت رویی دور ریخته شد. در طی زمان انکوباسیون، MTT توسط سیستم سوکسینات دهیدروژنаз که یکی از آنزیم‌های چرخه تنفسی میتوکندری هاست، احیا می‌شود. احیا و شکسته شدن این حلقه موجب تولید کربیستال‌های آبی رنگ فورمازان می‌شود. میزان رنگ تولید شده با تعداد سلول‌هایی که از نظر متابولیک فعال هستند(سلول‌های زنده) رابطه مستقیم دارد. کربیستال‌های فورمازان در آب غیر محلول بوده و باقیتی قبل از رنگ‌سنگی توسط ماده حلالی نظیر دی‌متیل سولفوکساید (DMSO) به حالت محلول درآیند. بنابراین بعد از تخلیه محیط کشت، ۱۰۰ میکرومیتر DMSO به هر چاهک اضافه شد. در نهایت جذب نوری چاهک‌ها توسط دستگاه الایزا ریدر در طول موج ۵۷۰ نانومتر قرائت شد. سپس جذب خانه‌های حاوی سلول‌های تیمار شده با جذب خانه‌های حاوی سلول‌های کنترل مقایسه شده و درصد سلول‌های زنده به روش زیر محاسبه گردید.

$$\frac{\text{میانگین جذب نوری سلول‌های تیمار شده با عصاره در هر غلظت}}{\text{میانگین جذب نوری خانه‌های حاوی سلول‌های کنترل}} \times 100 = (\%) \text{ میزان سلول‌های زنده}$$

آزمون فلوسیتومتری به منظور سنجش میزان آپوپتوز: ابتدا سلول‌ها در محیط RPMI حاوی ۱۰% FBS در انکوباتور ۳۷ درجه سانتی‌گراد حاوی ۵٪ گاز CO<sub>2</sub> به منظور دسترسی به جمعیت مورد نظر کشت شدند. طبق eBioscience، Annexin V Apoptosis eDetection Kit FITC (Detection Kit FITC برای هر آزمون به  $3 \times 10^5$  سلول نیاز است. به همان صورت که بیان شد، سلول‌ها در پلیت ۹۶ خانه با غلظت‌های مختلف عصاره تیمار شده و به مدت ۴۸ ساعت انکوبه شدند. بعد از انکوباسیون، سلول‌ها به لوله‌های فالکون منتقل شده و سانتریفیوژ شدند و مایع رویی آن دور ریخته شد. ۵۰۰ میکرومیتر از بافر باندکننده به سلول‌های تیمار شده اضافه شد، سپس به ویال مربوط به انجام فلوسیتومتری منتقل شدند. در نهایت ۵ میکرومیتر انکسین ۷ و ۱۶ میکرومیتر PI به ویال اضافه و به مدت ۲۰ دقیقه در تاریکی و در دمای اتاق انکوبه شده است. در نهایت ویال‌ها توسط دستگاه فلوسیتومتری خوانده شد.

شد(۱۸). عصاره‌های به دست آمده با استفاده از کاغذ صافی از پودر گیاه جدا شده و سپس با دستگاه روتاری در دمای کمتر از ۴۰ درجه سانتی‌گراد تغليظ و در ویال ریخته شد. عصاره تغليظ شده در زیر هود خشک و تا قبل از بررسی در دمای ۴ درجه سانتی‌گراد نگهداری شد. برای آماده‌سازی و رساندن آن به غلظت مورد نظر، ابتدا میزان ۱۰۰ میلی‌گرم عصاره در میکروتیوب با ترازوی دیجیتال وزن شده و سپس در ۱ میلی‌لیتر DMSO استریل حل شدند(غلظت نهایی استوک اولیه عصاره ۱۰۰ mg/mL بود). با توجه به رقيق نمودن استوک اولیه عصاره، جهت تهیه غلظت‌های مورد نیاز برای مطالعه، غلظت نهایی DMSO به کمتر از ۰.۰۱ DMSO رسیده و نیازی به کنترل DMSO نبود.

کشت سلولی و تیمار سلول‌ها با عصاره: رده‌های سلولی Nalm-6 و Reh از بانک سلولی انتستیتو پاستور ایران(تهران، ایران) تهیه شد. به منظور کشت سلولی ابتدا سلول‌ها از تانک ازت خارج و بخزدایی شدند، سپس در محیط کشت RPMI ۱۶۴۰ (جيبيکو) حاوی ۱۰٪ FBS و ۱٪ پنسيلین کشت داده شدند. فلاسک‌های کشت در انکوباتور ۳۷ درجه سانتی‌گراد با ۵٪ CO<sub>2</sub> انکوبه شدند. بعد از این که سلول‌ها به قدر کافی رشد کردند،  $3 \times 10^5$  از هر سلول در پلیت‌های ۹۶ خانه با غلظت‌های مختلف عصاره تیمار و در انکوباتور ۳۷ درجه سانتی‌گراد با ۵٪ CO<sub>2</sub> به مدت ۴۸ و ۷۲ ساعت انکوبه شدند. غلظت‌های مختلف عصاره با استفاده از محیط کشت استریل تهیه شدند. همه آزمایش‌ها به صورت شش تایی و در حداقل سه آزمایش جداگانه مورد بررسی قرار گرفتند.

آزمون MTT به منظور سنجش فعالیت متابولیک: پس از تیمار با غلظت‌های ۱۰، ۲۰، ۳۰، ۴۰، ۵۰، ۷۰ و ۹۰ میکروگرم بر میلی‌لیتر عصاره آرتمیسیا آنوا و اتمام زمان انکوباسیون، به هر چاهک ۲۰ میکرومیتر محلول (4,5-dimethyl diphenyl tetrazolium bromid) MTT اضافه نموده و مجدداً به مدت ۲ تا ۴ ساعت در انکوباتور دی‌اکسیدکربن در ۳۷ درجه سانتی‌گراد قرار داده شدند.

پلیت‌ها به مدت ۲۴ ساعت در انکوباتور ۳۷ درجه سانتی‌گراد انکوبه شدند. در نهایت جذب نوری چاهک‌ها در طول موج nm ۴۰۰-۴۵۰ خوانده شد.

#### آزمون‌های آماری:

آنالیز آماری داده‌ها با کمک نرم‌افزار SPSS ۲۳ صورت گرفت. از آزمون one-way ANOVA برای ارزیابی اختلاف آماری بین گروه‌های تیمار شده و کنترل استفاده شد و  $p < 0.05$  از لحظ آماری معنادار تلقی گردید.

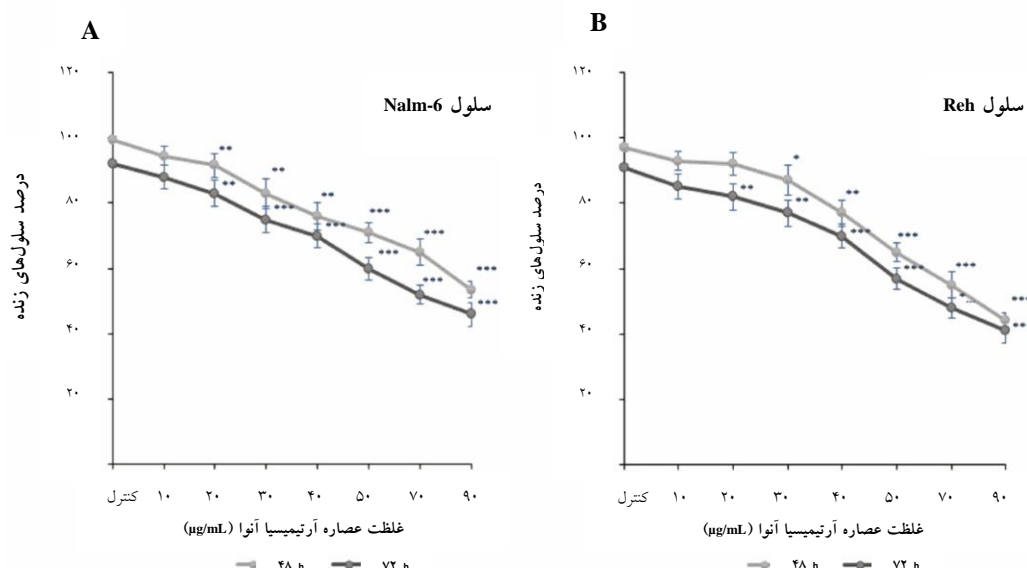
#### یافته‌ها

##### نتایج آزمون MTT:

نتایج حاصل از آزمون MTT نشان داد که آرتمیسیا آنوا رشد سلول‌های Nalm-6 و Reh را به صورت وابسته به دوز و زمان کاهش می‌دهد. به طوری که بعد از تیمار ۴۸ ساعته با غلظت  $\mu\text{g/mL}$  ۹۰، حدوداً ۷۰٪ از سلول‌ها (IC<sub>50</sub>) در رده سلولی Nalm-6 کشته شدند، و هم چنین بعد از تیمار ۷۲ ساعته با غلظت  $\mu\text{g/mL}$  ۷۰ و در تیمار ۷۲ ساعته با غلظت  $\mu\text{g/mL}$  ۵۰، حدوداً ۵۰٪ از سلول‌ها (IC<sub>50</sub>) در رده سلولی Reh کشته شدند (نمودار ۱).

آزمون بررسی فعالیت کاسپاز ۳ به منظور سنجش میزان آپوپتوز:

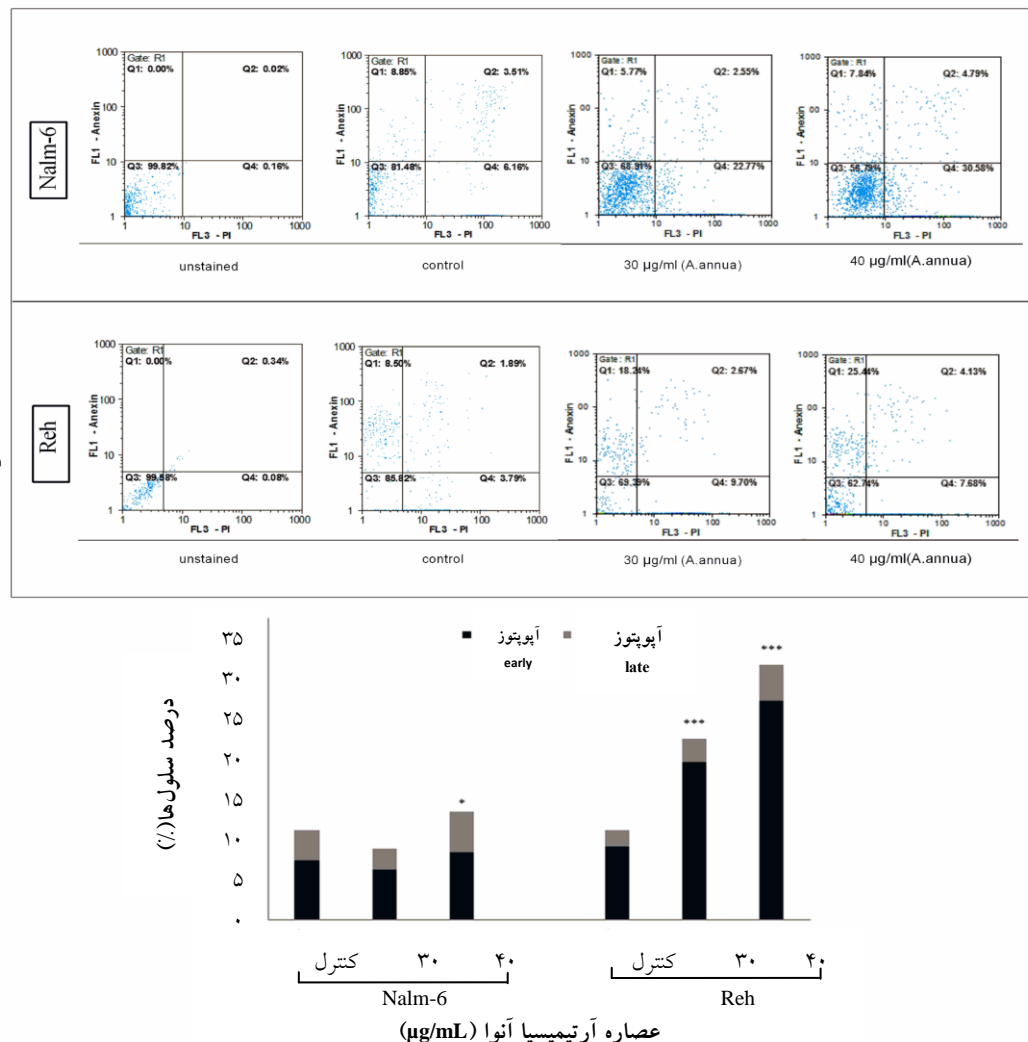
برای این آزمایش از کیت سنجش کلرومتریک فعالیت کاسپاز ۳ (Abcam) استفاده شد. تعداد سلول مورد نیاز برای هر غلظت طبق دستورالعمل کیت،  $1.5 \times 10^5$  می‌باشد. ابتدا سلول‌های کشت داده شده با دوزهای مختلف عصاره آرتمیسیا آنوا در پلیت‌های ۱۲ خانه، تیمار شده و پلیت به مدت ۴۸ ساعت در انکوباتور  $\text{CO}_2$  دار انکوبه شد. بعد از انکوباسیون، طبق دستورالعمل کیت BCA پروتئین‌های سلول‌ها استخراج شده و به روش protein assay میزان پروتئین آنها سنجیده شد. غلظت مناسب پروتئین برای هر آزمون در سنجش فعالیت کاسپاز ۳، ۵۰ الی ۲۰۰ میکروگرم به ازای هر ۵۰ میکرولیتر بافر لیزکننده می‌باشد. در ادامه آزمون فعالیت کاسپاز ۳ همراه با تکرار به صورت دوتایی صورت گرفت. یک چاهک به عنوان background حاوی ۵۰ میکرولیتر Reaction Buffer و در سایر چاهک‌ها، به میزان ۵۰ میکرولیتر از نمونه‌ها اضافه شدند. سپس ۵۰ میکرولیتر از مخلوط 2X Reaction Buffer و سپس به میزان ۵ میکرولیتر از سوبسترا DTT (4 mM DEVD-p-NA) به هر چاهک اضافه کرده و



نمودار ۱: تاثیر غلظت‌های مختلف عصاره پس از ۲۴ ساعت و ۷۲ ساعت در دو رده سلولی Reh (B) و Nalm-6 (A) (\*\*\* p < 0.001) (\*\* p < 0.01). (\* p < 0.05).

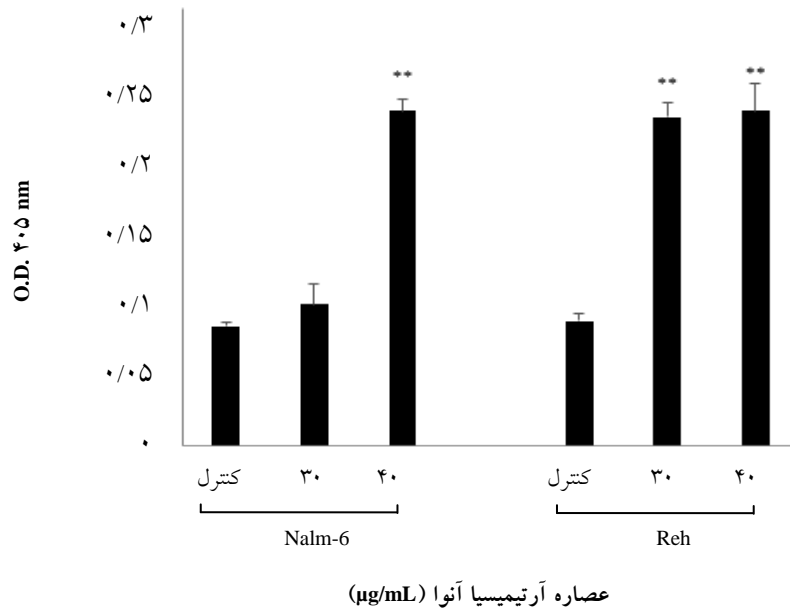
شد( $p < 0.001$ ). در رده سلولی Nalm-6 در دوز ۴۰ میکروگرم بر میلی لیتر، درصد سلول‌های آپوپتویک نسبت به کنترل افزایش معنادار یافتند( $p < 0.05$ ). نتایج حاصل از این آزمون در نمودار ۲ قابل مشاهده است. همان طور که در این نمودار نشان داده شده، درصد سلول‌های آپوپتویک و نکروتیک قابل تفکیک هستند و در رده سلولی Reh درصد سلول‌های آپوپتویک و نکروتیک بالاتر از رده سلولی Nalm-6 مشاهده شد.

**نتایج آزمون فلورسیتومری:**  
با توجه به نتایج آزمون قبل، غلظت‌های  $30 \mu\text{g/mL}$  و  $40 \mu\text{g/mL}$  برای آزمون فلوسایوتومتری انتخاب شدند. سلول‌ها طبق روشهای قبلی بیان شد، به مدت ۴۸ ساعت با عصاره آرتیمیزیا آنوا تیمار شدند. نتایج حاکی از افزایش میزان آپوپتوز وابسته به غلظت نسبت به گروه کنترل بود. دوز ۳۰ و ۴۰ میکروگرم بر میلی لیتر عصاره در رده سلولی Reh سبب افزایش معنادار آپوپتوز نسبت به کنترل



نمودار ۲(A-B): آنالیز آپوپتوز القا شده توسط رنگ آمیزی Annixin V-PI در رده‌های سلولی Nalm-6 و Reh بعد از ۴۸ ساعت. در این گراف‌ها ربع سمت چپ پایین - سلول‌های انکسین منفی / PI منفی (سلول‌های زنده)، ربع سمت چپ بالا - سلول‌های انکسین مثبت / PI مثبت (آپوپتوز اولیه)، ربع سمت راست پایین - سلول‌های انکسین منفی / PI مثبت (سلول‌های نکروتیک) و ربع سمت راست بالا - سلول‌های انکسین مثبت / PI منفی (آپوپتوز تأخیری) می‌باشند. (B) نمودار نتایج حاصل از آزمون فلوسایوتومتری در دو رده سلولی Nalm-6 و Reh پس از ۴۸ ساعت ( $p < 0.001$ )  
 $(* p < 0.05)(*** p <$

## فعالیت کاسپاز ۳



نمودار ۳: میزان فعالیت کاسپاز ۳ در رده‌های سلولی Nalm-6 و Reh پس از تیمار ۴۸ ساعته با عصاره آرتیمیسیا آنوا ( $p < 0.01$ ). (\*\*  $p < 0.01$ )

و بیشترین اثر مهاری در تیمار ۷۲ ساعت مشاهده شد. به طوری که کاهش در سلول‌های زنده، به ویژه در غلظت‌های بالاتر مشهود است. لوسومی لنفوبلاستیک حاد، اختلال بدخیم سلول‌های پیش‌ساز لنفوئیدی است که هم در کودکان و هم در بزرگسالان دیده می‌شود و دارای بیشترین شیوع در کودکان ۲ تا ۵ سال است. این بدخیمی به عنوان شایع‌ترین بدخیمی کودکان، به تنهایی ۷۷٪ کل لوسومی‌ها در دوران کودکی را تشکیل می‌دهد و هر ساله بیش از ۳۰٪ از سرطان‌های تشخیص داده شده در کودکان را شامل می‌شود (۱۹، ۲۰). دستورالعمل درمانی شامل روش‌های شیمی درمانی موجود است که بیش از ۸۰٪ کودکان مبتلا وارد فاز رمیشن می‌گردند اما ۲۰٪ آن‌ها به دلیل مقاومت بلاست‌های لوکمیک به درمان پاسخ نمی‌دهند (۲۱). تحقیقات نشان داده است که ترکیبات طبیعی می‌توانند به طور مؤثری سبب مهار سرطان شوند (۲۲). در این مطالعه اثر مهاری عصاره آرتیمیسیا آنوا بر روی دو رده سلولی MTT و Reh مشاهده گردید. در آزمون MTT Nalm-6 غلظت‌های بالاتر از ۴۰ میکروگرم در میلی‌لیتر عصاره بعد

## نتایج آزمون فعالیت کاسپاز ۳:

در این آزمون، غلظت‌های ۳۰ و ۴۰ میکروگرم بر میلی‌لیتر مورد بررسی قرار گرفتند. نتایج حاصل از سنجش کاسپاز ۳ در هر دو رده سلولی Nalm-6 و Reh، حاکی از افزایش میزان جذب نوری غلظت ۴۰ میکروگرم نسبت به گروه کنترل بود. در رده سلولی Reh غلظت‌های ۳۰ و ۴۰ میکروگرم بر میلی‌لیتر، دارای میانگین اختلاف جذب نوری قابل توجهی نسبت به گروه کنترل است و در رده سلولی Nalm-6، غلظت ۴۰ میکروگرم بر میلی‌لیتر، دارای میانگین اختلاف جذب نوری قابل توجهی نسبت به گروه کنترل می‌باشد ( $p < 0.01$ ) (نمودار ۳).

## بحث

نتایج حاصل از این مطالعه، بیانگر اثر مهاری عصاره بخش‌های هوایی گیاه آرتیمیسیا آنوا بر رده‌های سلولی Nalm-6 و Reh بود، همان‌طور که در نتایج مربوط به MTT نشان داده شده است. عصاره مورد نظر در دو رده سلولی Nalm-6 و Reh از غلظت ۴۰ µg/mL به بالا دارای اثر کشنده‌ای قابل ملاحظه‌ای نسبت به گروه‌های کنترل بوده

حاضر غلظت ۳۰ و ۴۰ میکروگرم بر میلی‌لیتر عصاره بخش‌های هوایی آرتمیسیا آنوا منجر به افزایش درصد سلول‌های آپوپتویک در رده سلولی Reh شده و غلظت ۴۰ میکروگرم بر میلی‌لیتر عصاره در رده سلولی Nalm-6 با افزایش قابل توجه در آپوپتوز اولیه همراه بود. در ادامه در این مطالعه فعالیت کاسپاز ۳ مورد بررسی قرار گرفت و نتایج به دست آمده با افزایش قابل توجه فعالیت کاسپاز ۳ در غلظت ۴۰ میکروگرم بر میلی‌لیتر عصاره آرتمیسیا آنوا در هر دو رده سلولی همراه بود، نتایج فلوسایوتومتری و فعالیت کاسپاز ۳ مطابق با نتایج به دست آمده از آزمون MTT می‌باشد. در این مطالعه برای اولین بار اثر عصاره مтанولی بخش‌های هوایی آرتمیسیا آنوا بر روی رده‌های سلولی لنفوبلاستی Nalm-6 و Reh بررسی گردید که نتایج به دست آمده نشان داد، این عصاره دارای اثر سمیت و آپوپتویک بر این دو رده سلولی می‌باشد. لذا با توجه به تاثیرات فوق می‌توان این عصاره را به عنوان یک ترکیب بالقوه ضد سرطان در نظر گرفت تا با بررسی‌های بیشتری جهت شناخت ترکیبات مؤثره گیاه و مکانیسم‌های دخیل در اثرات کشنده‌گی آن همراه با کارآزمایی‌های بالینی صورت پذیرفته، شاید عصاره حاصل از این گیاه بتواند در کنار سایر داروهای موجود در درمان این بیماران مورد استفاده قرار گیرد.

### نتیجه‌گیری

در این مطالعه برای اولین بار اثر کشنده‌گی و آپوپتویک عصاره بخش‌های هوایی گیاه آرتمیسیا آنوا بر روی رده‌های سلولی لوسومی لنفوبلاستیک حد نشان داده شده است. عصاره آرتمیسیا آنوا را می‌توان به عنوان ماده‌ای با اثر مهاری در برابر سلول‌های لوسومی لنفوبلاستیک حد در نظر گرفت. تحقیقات گسترده‌تر جهت شناخت مکانیسم‌های آپوپتویک این عصاره و هم چنین شناسایی ماده مؤثره آرتمیسیا آنوا، نیاز می‌باشد.

از گذشت ۷۲ ساعت، اثر سمیت بالاتری نسبت به گروه کنترل نشان داد، که نشان می‌دهد اثر مهاری عصاره آرتمیسیا آنوا وابسته به غلظت و زمان می‌باشد و همین طور نتایج به دست آمده از رنگ‌آمیزی فلوسایوتومتری و فعالیت آنزیم کاسپاز ۳ در این مطالعه نشان داد غلظت‌های ۳۰ و ۴۰ میکروگرم بر میلی‌لیتر این عصاره می‌تواند بعد از ۴۸ ساعت سبب افزایش قابل توجه آپوپتوز نسبت به گروه کنترل شود. مطالعه‌های قبلی نشان می‌دهد، عصاره‌های اتانولی برزیلی و چینی آرتمیسیا آنوا، دارای اثر مهاری قابل توجهی در رده سلولی Molt-4 می‌باشند(۲۳). هم چنین در مطالعه دیگری ، IC50 این عصاره در یک رده سلولی سرطان سرطان پروستات (LNCaP)، ۳ میکروگرم در میلی‌لیتر تحملین زده شد(۲۴). در مطالعه دیگری که گونه‌های مختلف آرتمیسیا در ایران مورد بررسی قرار گرفتند، عصاره مтанولی آرتمیسیا سینیفورمیس بر روی رده سلولی سرطان معده (AGS)، دارای IC50 برابر با ۶۰ میکروگرم بر میلی‌لیتر بود، هم چنین عصاره‌های دیکلومتانی آرتمیسیا دیفیوزا و آرتمیسیا سانتولینا بر روی رده سلولی سرطان کولون (HT-29)، به ترتیب ۴۹ و ۹۱ میکروگرم بر میلی‌لیتر محاسبه شد(۲۵). در مطالعه حاضر، آرتمیسیا آنوا بعد از ۴۸ ساعت در دو رده سلولی Nalm-6 و Reh ، به ترتیب ۹۰ و ۷۰ میکروگرم در میلی‌لیتر به دست آمد. فرآیند آپوپتوز توسط عوامل آپوپتویک فعال شده و آنزیم کلیدی و اجرایی در این فرآیند، کاسپاز ۳ می‌باشد(۲۶). فلوسایوتومتری قادر به آنالیز سریع و منحصر به فرد تعداد زیادی سلول می‌باشد که آن را برای مطالعه‌های مرگ سلولی ایده‌آل می‌نماید. رنگ‌آمیزی با V Annexin و PI (پروپیدیوم یدید) برای افتراق سلول‌ها در فازهای آپوپتوز اولیه از فاز آپوپتوز ثانویه و فاز نکروزی استفاده می‌شوند که بر پایه تعیین جایه‌جایی فسفاتیدیل سرین از لایه داخلی غشای پلاسمایی به لایه خارجی آن در فاز آپوپتوز اولیه به وسیله رنگ‌آمیزی V Annexin می‌باشد(۲۷). در مطالعه

## References:

- 1- Cole PD, Finkelstein Y, Stevenson KE, Blonquist TM, Vijayanathan V, Silverman LB, et al. Polymorphisms in genes related to oxidative stress are associated with inferior cognitive function after therapy for childhood acute lymphoblastic leukemia. *J Clin Oncol* 2015; 33(19): 2205-11.
- 2- Arpe ML, Rørvig S, Kok K, Mølgaard C, Frandsen TL. The association between glucocorticoid therapy and BMI z-score changes in children with acute lymphoblastic leukemia. *Support Care Cancer* 2015; 23(12): 3573-80.
- 3- Vitanza NA, Zaky W, Blum R, Meyer JA, Wang J, Bhatla T, et al. Ikaros deletions in BCR-ABL-negative childhood acute lymphoblastic leukemia are associated with a distinct gene expression signature but do not result in intrinsic chemoresistance. *Pediatr Blood Cancer* 2014; 61(10): 1779-85.
- 4- Abedi M, Rahgozar S, Moafi A, Ghaedi K, Moshtaghian S, Entezar-e-Ghaem M, et al. Evaluation of the expression profile of MDR1 gene and assessment of its prognostic value in childhood ALL. *Sci J Iran Blood Transfus Organ* 2014; 10(4): 326-34. [Article in Farsi]
- 5- Ghaderi S, Falahati Hosein Abad A, Sarailoo MH, Ghanbari V. Investigation of the components and antibacterial effects of three plant's essential oil Coriandrum sativum, Achillea millefolium, Anethum graveolens *in vitro*. *J Shahrekord Univ Med Sci* 2012; 14(5): 74-82. [Article in Farsi]
- 6- Cragg GM, Newman DJ. Antineoplastic agents from natural sources: achievements and future directions. *Expert Opin Investig Drugs* 2000; 9(12): 2783-97.
- 7- Mozaffarian V. A dictionary of Iranian plant names: Latin, English, Persian; Farhang Mo'aser; 1996.
- 8- Wright CW. Artemisia. 1<sup>st</sup> ed. London: Taylor & Francis; 2002. p. 169-70.
- 9- Lee HG, Yu KA, Oh WK, Baeg TW, Oh HC, Ahn JS, et al. Inhibitory effect of jaceosidin isolated from Artemisiaargyi on the function of E6 and E7 oncoproteins of HPV 16. *J Ethnopharmacol* 2005; 98(3): 339-43.
- 10- Sharmila K, Padma P. Anticancer activity of Artemisia vulgaris on hepatocellular carcinoma (HepG2) cells. *Int J Pharm Pharmaceut Sci* 2013; 5(3): 479-83.
- 11- Emami A, Rabe SZT, Ahi A, Mahmoudi M. Cytotoxic effects of Artemisia annua methanol extract on cancer cell lines *in vitro*. *Journal of Kerman University of Medical Sciences* 2010; 17(3): 215-25. [Article in Farsi]
- 12- Martin SJ, Green DR. Protease activation during apoptosis: death by a thousand cuts? *Cell* 1995; 82(3): 349-52.
- 13- Thornberry NA, Lazebnik Y. Caspases: enemies within. *Science* 1998; 281(5381): 1312-6.
- 14- Igney FH, Krammer PH. Death and anti-death: tumour resistance to apoptosis. *Nat Rev Cancer* 2002; 2(4): 277-88.
- 15- Martinvalet D, Zhu P, Lieberman J. Granzyme A induces caspase-independent mitochondrial damage, a required first step for apoptosis. *Immunity* 2005; 22(3): 355-70.
- 16- Arur S, Uche UE, Rezaul K, Fong M, Scranton V, Cowan AE, et al. Annexin I is an endogenous ligand that mediates apoptotic cell engulfment. *Dev Cell* 2003; 4(4): 587-98.
- 17- Zhang G, Gurtu V, Kain SR, Yan G. Early detection of apoptosis using a fluorescent conjugate of annexin V. *Biotechniques* 1997; 23(3): 525-31.
- 18- Singh J. Maceration, Percolation and Infusion Techniques of Extraction of Medicinal and Aromatic Plants (MAPs). India: Central Institute of Medicinal and Aromatic Plants (CIMAP) Lucknow. Available on: [http://www.philadelphia.edu.jo/academics/s\\_telfah/uploads/method%20of%20extraction.pdf](http://www.philadelphia.edu.jo/academics/s_telfah/uploads/method%20of%20extraction.pdf).
- 19- de Mesquita ML, de Paula JE, Pessoa C, de Moraes MO, Costa-Lotufo LV, Grounet R, et al. Cytotoxic activity of Brazilian Cerrado plants used in traditional medicine against cancer cell lines. *J Ethnopharmacol* 2009; 123(3): 439-45.
- 20- Atashrazm F, Zaker F, Aghaeipour M, Pazhakh V. Methylenetetrahydrofolate reductase polymorphisms and susceptibility to childhood ALL. *Sci J Iran Blood Transfus Organ* 2009; 6(4): 266-75. [Article in Farsi]
- 21- Felice MS, Zubizarreta PA, Alfaro EM, Sackmann-Muriel F. Childhood acute lymphoblastic leukemia: prognostic value of initial peripheral blast count in good responders to prednisone. *J Pediatr Hematol Oncol* 2001; 23(7): 411-5.
- 22- Won HJ, Han CH, Kim YH, Kwon HJ, Kim BW, Choi JS, et al. Induction of apoptosis in human acute leukemia Jurkat T cells by Albizzia julibrissin extract is mediated via mitochondria-dependent caspase-3 activation. *J Ethnopharmacol* 2006; 106(3): 383-9.
- 23- Singh NP, Ferreira JF, Park JS, Lai HC. Cytotoxicity of ethanolic extracts of Artemisia annua to Molt-4 human leukemia cells. *Planta Med* 2011; 77(16): 1788-93.
- 24- Worku N, Mossie A, Stich A, Daugsches A, Trettner S, Hemdan NY, et al. Evaluation of the *in vitro* efficacy of Artemisia annua, Rumex abyssinicus, and Catha edulis Forsk extracts in cancer and Trypanosoma brucei cells. *ISRN Biochem* 2013; 2013: 910308.
- 25- Taghizadeh Rabe SZ, Mahmoudi M, Ahi A, Emami SA. Antiproliferative effects of extracts from Iranian Artemisia species on cancer cell lines. *Pharm Biol* 2011; 49(9): 962-9.
- 26- Salvesen GS. Caspases: opening the boxes and interpreting the arrows. *Cell Death Differ* 2002; 9(1): 3-5.
- 27- Bertho ÁL, Santiago MA, Coutinho SG. Flow cytometry in the study of cell death. *Mem Inst Oswaldo Cruz* 2000; 95(3): 429-33.

**Original Article**

## **The effect of methanolic extract of aerial parts of *Artemisia annua* on proliferation and apoptosis of acute lymphoblastic leukemia cell lines, Nalm-6 and Reh**

**Mashati P.<sup>1</sup>, Esmaeili S.<sup>2</sup>, Dehghan Nayeri N.<sup>1</sup>, Darvishi M.<sup>1</sup>, Gharehboghian A.<sup>1,3</sup>**

<sup>1</sup>School of Allied Medical Sciences, Shahid Beheshti University of Medical Sciences, Tehran, Iran

<sup>2</sup>Traditional Medicine and Materia Medica Research Center, School of Traditional Medicines, Shahid Beheshti University of Medical Sciences, Tehran, Iran

<sup>3</sup>Pediatric Congenital Hematologic Disorders Research Center, Shahid Beheshti University of Medical Sciences, Tehran, Iran

### **Abstract**

#### **Background and Objectives**

Acute lymphoblastic leukemia (ALL) is the most common malignancy among children. The use of natural compounds has invoked a lot of interest in treatment of malignancies due to the adverse effects of chemotherapy treatment. *Artemisia annua* was reported to show cytotoxic effects on various cancer cell lines. In this study, cytotoxic effects of *Artemisia annua* extract were investigated on acute lymphoblastic leukemia cell lines.

#### **Materials and Methods**

In this basic research, Nalm-6 and Reh cells were cultured and then treated with various concentrations of *Artemisia annua* extract; afterwards, the cell viability was evaluated using MTT assay for 48 and 72 h. The Caspase 3 activity assay and flow cytometry following Annexin V and Propidium iodide staining were used to assess apoptosis. Statistical analysis was evaluated by one-way ANOVA test.

#### **Results**

*A. annua* extract showed IC<sub>50</sub> of 90 µg/ml on Nalm-6 and IC<sub>50</sub> of 70 µg/ml on Reh cells after 48 h; the cytotoxic effect after 72 h was noticeable ( $p < 0.001$ ). Flow cytometry results also show that *A. annua* extract concentration of 40 µg/ml increases the percentage of apoptotic cells compared with control groups ( $p < 0.05$ ). Significant increase in Caspase 3 activity was observed after treatment with *Artemisia annua* compared with control groups ( $p < 0.01$ ).

#### **Conclusions**

Our results show that methanolic extract of aerial parts of *A. annua* exerting cytotoxic and inhibitory effects on Nalm-6 and Reh cells.

**Key words:** Acute Lymphoid Leukemia, *Artemisia annua*, Apoptosis

*Received: 9 Nov 2016*

*Accepted: 3 Jan 2017*

**Correspondence:** Gharehboghian A., PhD in Clinical Immunohematology. School of Allied Medical Sciences, Shahid Beheshti University of Medical Sciences and Pediatric Congenital Hematologic Disorders Research Center, Shahid Beheshti University of Medical Sciences.

P.O.Box: 15468-15514, Tehran, Iran. Tel: (+9821) 22721150; Fax: (+9821) 22731999  
E-mail: gharehboghian@sbmu.ac.ir